

CORRIGÉ DU DEVOIR SURVEILLÉ 8

Exercice 1 – Marcher à son rythme pour aller plus loin

(CCINP TSI 2019)

Système : jambe assimilée à un solide rigide de masse m_0 et de moment d'inertie J , en rotation autour d'un axe horizontal (O, \vec{e}_x) .

Référentiel terrestre supposé galiléen, muni d'un repère cartésien $(O, \vec{e}_x, \vec{e}_y, \vec{e}_z)$

Bilan des forces :

- Poids \vec{P} appliqué au centre d'inertie H de la jambe
- Liaison pivot parfaite en O

1. Moment cinétique scalaire : $L_{Ox} = J \frac{d\gamma}{dt} = J\dot{\gamma}$

2. $\Gamma_{Ox}(\text{pivot}) = 0$ car liaison pivot parfaite (pas de frottement)

3. Moment du poids : $|\Gamma_{Ox}(\vec{P})| = l m_0 g$ avec bras de levier : $l = OH \sin(\gamma) = d' \sin(\gamma)$

Le poids fait tourner H dans le sens indirect donc $\Gamma_{Ox}(\vec{P}) < 0$:

$$\Gamma_{Ox}(\vec{P}) = -m_0 g d' \sin(\gamma)$$

OU

$$\Gamma_{Ox}(\vec{P}) = (\vec{OH} \wedge \vec{P}) \cdot \vec{e}_x = m_0 g d' ((-\cos(\gamma)\vec{e}_z + \sin(\gamma)\vec{e}_y) \wedge (-\vec{e}_z)) \cdot \vec{e}_x = -m_0 g d' \sin(\gamma)$$

4. Théorème du moment cinétique : $\left(\frac{dL_{Ox}}{dt}\right) = \Gamma_{Ox}(\vec{P}) + \Gamma_{Ox}(\text{pivot})$

$$J\ddot{\gamma} = -m_0 g d' \sin(\gamma)$$

5. Énergie cinétique de la jambe : $E_C = \frac{1}{2} J \dot{\gamma}^2$

6. Énergie potentielle de pesanteur telle que : $dE_p = -\vec{P} \cdot d\vec{OH} = m_0 g \vec{e}_z \cdot d\vec{OH}$

En coordonnées polaires : $\vec{OH} = r\vec{e}_r$ et $d\vec{OH} = dr\vec{e}_r + r d\gamma \vec{e}_\gamma$ (cf. schéma)

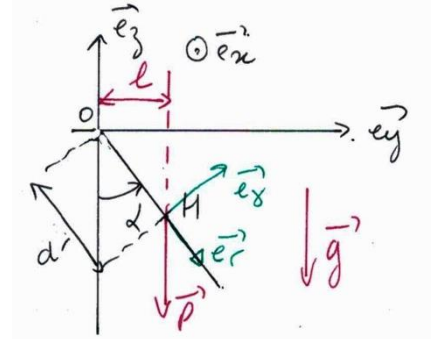
Mouvement circulaire : $d\vec{OH} = r d\gamma \vec{e}_\gamma = d' d\gamma \vec{e}_\gamma$

$$dE_p = m_0 g d' d\gamma \vec{e}_z \cdot \vec{e}_\gamma = m_0 g d' d\gamma \sin(\gamma) \text{ et intégration : } E_p = -m_0 g d' \cos(\gamma) + cste$$

OU

$$d\vec{OH} = dy\vec{e}_y + dz\vec{e}_z \text{ et } dE_p = m_0 g \vec{e}_z \cdot d\vec{OH} = m_0 g dz \text{ soit } E_p = m_0 g z + cte \text{ avec}$$

$$z = -d' \cos(\gamma) < 0 \text{ donc } E_p = -m_0 g d' \cos(\gamma) + cste$$



7. La jambe n'est soumise qu'à son poids, qui est une force conservative, et à la liaison pivot parfaite, i.e. sans frottement, dont le travail est nul : le système est conservatif et l'énergie mécanique se conserve au cours du temps.

$$E_m = E_C + E_P = \frac{1}{2} J \dot{\gamma}^2 - m_0 g d' \cos(\gamma) + cste = cste'$$

Théorème de la puissance mécanique : $\frac{dE_m}{dt} = \mathcal{P}^{NC} = 0$

$$\frac{1}{2} J \frac{d\dot{\gamma}^2}{d\gamma} \frac{d\gamma}{dt} - m_0 g d' \frac{d' \cos(\gamma)}{d\gamma} \frac{d\gamma}{dt} = 0 \Leftrightarrow \frac{1}{2} J 2\dot{\gamma}\ddot{\gamma} + m_0 g d' \sin(\gamma) \dot{\gamma} = 0$$

Simplification par $\dot{\gamma}$: $J\ddot{\gamma} + m_0 g d' \sin(\gamma) = 0$ (CQFD)

8. Approximation des petites oscillations : $\sin(\gamma) \approx \gamma$

$$J\ddot{\gamma} + m_0 g d' \sin(\gamma) = 0 \Leftrightarrow \ddot{\gamma} + \frac{m_0 g d'}{J} \gamma = 0 \text{ soit } \ddot{\gamma} + \omega_0^2 \gamma = 0 \text{ avec } \omega_0 = \sqrt{\frac{m_0 g d'}{J}}$$

Équation différentielle d'un oscillateur harmonique de pulsation propre ω_0 et

de période propre : $T = \frac{2\pi}{\omega_0} = \frac{2\pi\sqrt{J}}{\sqrt{m_0 g d'}}$

$$9. J = k m_0 d^2 \text{ et } d' = OH = \frac{d}{2} : T = \frac{2\pi\sqrt{k m_0 d^2}}{\sqrt{m_0 g \frac{d}{2}}} \Leftrightarrow T = \frac{2\pi\sqrt{2kd}}{\sqrt{g}} \Leftrightarrow T = 2\pi\sqrt{\frac{2k}{g}} \sqrt{d}$$

10. Pour l'adulte : $T_a = 1,6 \text{ s}$ et $d_a = 90 \text{ cm}$ et pour l'enfant : T_e et $d_e = 40 \text{ cm}$

La constante k est la même pour les deux individus car elle est liée à la forme géométrique du modèle adopté pour la jambe.

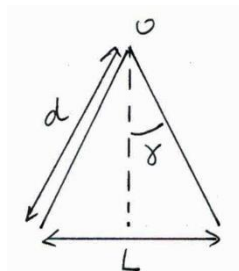
$$\frac{T_a}{\sqrt{d_a}} = \frac{T_e}{\sqrt{d_e}} \Leftrightarrow T_e = T_a \sqrt{\frac{d_e}{d_a}} = 1,1 \text{ s}$$

11. Dans le cas des mouvements de petites amplitudes γ , la longueur d'un pas est : $L = 2d \sin(\gamma)$ et la vitesse de marche

$$\text{est } v = \frac{2L}{T} = \frac{4d \sin(\gamma)}{T}.$$

On considère la même amplitude γ pour l'adulte et l'enfant.

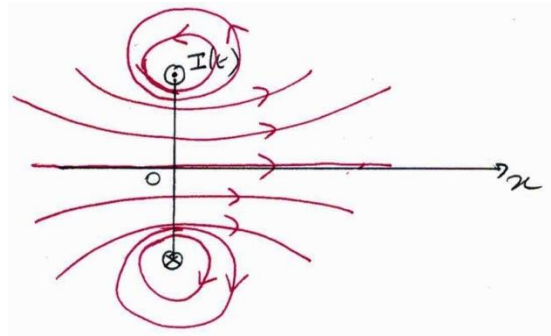
$$\frac{v_a}{v_e} = \frac{d_a}{T_a} \frac{T_e}{d_e} = \frac{d_a}{d_e} \sqrt{\frac{d_e}{d_a}} \Leftrightarrow \frac{v_a}{v_e} = \sqrt{\frac{d_a}{d_e}} = 1,5$$



La vitesse « naturelle » de l'enfant est environ 1,5 fois moins grande que celle de l'adulte.

Exercice 2 – Système d'alarme

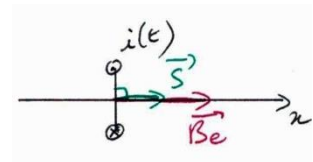
1. Carte des lignes de champ ci-contre.
2. Le circuit émetteur parcouru par un courant électrique variable, crée un champ magnétique $\vec{B}_e(t)$ variable.



L'antivol est un circuit fixe placé dans un champ magnétique variable : le flux magnétique qui le traverse est donc variable. D'après la loi de Faraday, il apparaît une force électromotrice induite, et donc un courant induit dans l'antivol.

Remarque : La circulation de ce courant induit variable est responsable de la création d'un champ magnétique propre et d'un flux propre variable, donc d'une fem auto-induite : cf. question 6.

3. Comme l'antivol est de petite dimension, on considère que le champ magnétique $\vec{B}_e(t)$ est uniforme sur toute sa surface.



On oriente le courant $i(t)$ dans l'antivol de façon à ce que le vecteur surface s'écrive : $\vec{S} = S\vec{u}_x = \pi b^2 \vec{u}_x$

Flux extérieur dû à $\vec{B}_e(t)$ à travers les n spires : $\Phi = n\varphi = n\vec{B}_e(t) \cdot \vec{S} = nB_e(t)S$

$$\Phi(t) = n\pi b^2 \alpha I(t) = n\pi b^2 \alpha I_0 \cos(\omega t)$$

Fem induite : loi de Faraday :
$$e(t) = -\frac{d\Phi(t)}{dt} = n\pi b^2 \alpha I_0 \omega \sin(\omega t)$$

La fem est sinusoïdale d'amplitude $E_m = n\pi b^2 \alpha I_0 \omega$

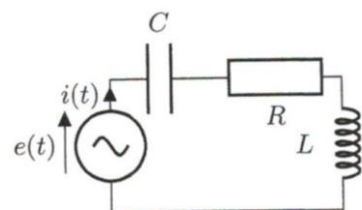
Valeur efficace :
$$E_{eff} = \frac{E_m}{\sqrt{2}} = \frac{1}{\sqrt{2}} n\pi b^2 \alpha I_0 \omega$$
 (expression à connaître sinon à redémontrer !)

Rappel :
$$E_{eff}^2 = \frac{1}{T} \int_0^T e^2(t) dt = \frac{1}{T} \int_0^T E_m^2 \sin^2(\omega t) dt = \frac{E_m^2}{2T} \int_0^T (1 - \cos(2\omega t)) dt$$

$$E_{eff}^2 = \frac{E_m^2}{2T} T - \frac{E_m^2}{2T} \int_0^T \cos(2\omega t) dt = \frac{E_m^2}{2} \text{ soit } E_{eff} = \frac{E_m}{\sqrt{2}}$$

4. Schéma électrique équivalent du circuit de l'antivol.

Attention ! La fem induite $e(t)$ ne représente que la variation du flux extérieur ! Le flux propre est à prendre en compte avec le coefficient d'auto-inductance L .



Convention générateur pour $e(t)$ et $i(t)$

5. Régime sinusoïdal forcé : notation complexe

Domaine temporel	Domaine complexe
$e(t) = \sqrt{2}E_{eff} \sin(\omega t)$	$\underline{e}(t) = \sqrt{2}E_{eff}e^{j\omega t} = \underline{E}e^{j\omega t}$ avec $\underline{E} = \sqrt{2}E_{eff}$
$i(t) = \sqrt{2}I_{eff} \sin(\omega t + \psi)$	$\underline{i}(t) = \sqrt{2}I_{eff}e^{j(\omega t + \psi)} = \underline{I}e^{j\omega t}$ avec $\underline{I} = \sqrt{2}I_{eff}e^{j\psi}$

Impédance complexe du circuit : $\underline{Z} = R + j\left(L\omega - \frac{1}{C\omega}\right)$

Loi d'Ohm : $\underline{E} = \underline{Z}\underline{I} = \left[R + j\left(L\omega - \frac{1}{C\omega}\right)\right]\underline{I}$

Amplitude complexe du courant : $\underline{I} = \frac{\underline{E}}{R + j\left(L\omega - \frac{1}{C\omega}\right)} = \frac{\sqrt{2}E_{eff}}{R + j\left(L\omega - \frac{1}{C\omega}\right)}$

Valeur efficace : $I_{eff} = \frac{|\underline{I}|}{\sqrt{2}} = \frac{E_{eff}}{\sqrt{R^2 + \left(L\omega - \frac{1}{C\omega}\right)^2}}$

Lorsque $LC\omega^2 = 1$, soit $L\omega = \frac{1}{C\omega} \Leftrightarrow L\omega - \frac{1}{C\omega} = 0$, $I_{eff} = \frac{E_{eff}}{R}$: la valeur efficace est maximale pour la pulsation particulière $\omega_0 = \frac{1}{\sqrt{LC}}$: phénomène de résonance.

6. L'apparition du courant induit variable dans l'antivol crée un champ magnétique propre, qui, d'après la loi de Lenz, tend à s'opposer à la cause qui lui a donné naissance, à savoir le champ magnétique créé par l'émetteur. Le champ résultant (champ de l'émetteur + champ induit créé par l'antivol) est donc plus faible au niveau du récepteur que le champ magnétique de l'émetteur seul. La fem induite au niveau du récepteur (tension à ses bornes) diminue également.

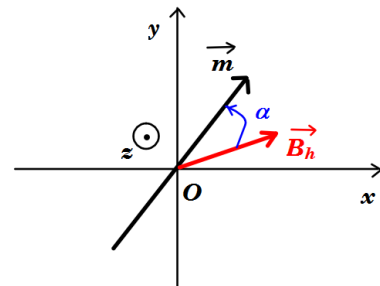
Exercice 3 – Champ magnétique terrestre

1. Système : boussole de moment d'inertie J , de moment magnétique \vec{m}

Référentiel : terrestre supposé galiléen

Bilan des forces :

- ❖ Poids \vec{P} colinéaire à (Oz) : $\mathcal{N}_{(Oz)}(\vec{P}) = 0$
- ❖ liaison pivot idéale : $\mathcal{N}_{(Oz)}(pivot) = 0$
- ❖ Couple électromagnétique : $\vec{\Gamma} = \vec{m} \wedge \vec{B}_h = -mB_h \sin(\alpha)\vec{u}_z$



Théorème du moment cinétique projeté sur (Oz) :

$$J \frac{d^2 \alpha}{dt^2} = \mathcal{M}_{(Oz)}(\vec{P}) + \mathcal{M}_{(Oz)}(\text{pivot}) + \vec{\Gamma} \cdot \vec{u}_z \Leftrightarrow J \frac{d^2 \alpha}{dt^2} = -mB_h \sin \alpha$$

$$\boxed{J \frac{d^2 \alpha}{dt^2} + mB_h \sin \alpha = 0}$$

À l'équilibre $\frac{d^2 \alpha}{dt^2} = 0$, d'où $\sin \alpha_{eq} = 0$ et $\alpha_{eq} = 0$ ou π . La position d'équilibre stable correspond à $\alpha_{eq} = 0$ car le couple électromagnétique tend à aligner le moment magnétique \vec{m} avec \vec{B}_h , i.e. à le rendre parallèle et de même sens.

2. Approximation des petits angles : $\sin \alpha \simeq \alpha$

Équation différentielle : $J \frac{d^2 \alpha}{dt^2} + mB_h \alpha = 0 \Leftrightarrow \frac{d^2 \alpha}{dt^2} + \frac{mB_h}{J} \alpha = 0$

$$\boxed{\ddot{\alpha} + \omega_0^2 \alpha = 0 \text{ avec } \omega_0 = \sqrt{\frac{mB_h}{J}}}$$

Équation d'un oscillateur harmonique de pulsation propre ω_0 et de période propre : $T_0 = \frac{2\pi}{\omega_0} = 2\pi \sqrt{\frac{J}{mB_h}}$.

3. Lorsqu'on place la bobine de façon que \vec{B}_e et \vec{B}_h soient parallèles et de même sens, le champ résultant est $\vec{B}_{tot} = \vec{B}_e + \vec{B}_h$ tel que $B_{tot} = B_e + B_h$. Un raisonnement analogue conduit à : $T_1 = 2\pi \sqrt{\frac{J}{mB_{tot}}} = 2\pi \sqrt{\frac{J}{m(B_e + B_h)}}$

➤ Lorsqu'on inverse le sens du courant dans la bobine, on inverse le sens de \vec{B}_e : \vec{B}_e et \vec{B}_h sont parallèles et de sens opposés. Le champ résultant est $\vec{B}_{tot} = \vec{B}_e + \vec{B}_h$ tel que $B_{tot} = B_e - B_h$ car $B_h < B_e$

Un raisonnement analogue conduit à : $T_2 = 2\pi \sqrt{\frac{J}{mB_{tot}}} = 2\pi \sqrt{\frac{J}{m(B_e - B_h)}}$

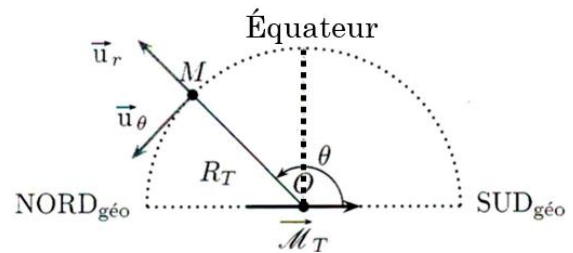
➤ Expression de B_h :

$$\frac{T_1}{T_2} = \sqrt{\frac{B_e - B_h}{B_e + B_h}} \Leftrightarrow \frac{B_e - B_h}{B_e + B_h} = \left(\frac{T_1}{T_2}\right)^2 \Leftrightarrow B_e - B_h = \left(\frac{T_1}{T_2}\right)^2 (B_e + B_h)$$

$$B_e \left(1 - \left(\frac{T_1}{T_2}\right)^2\right) = B_h \left(1 + \left(\frac{T_1}{T_2}\right)^2\right) \text{ soit } \boxed{B_h = B_e \frac{1 - \left(\frac{T_1}{T_2}\right)^2}{1 + \left(\frac{T_1}{T_2}\right)^2}}$$

4. A.N. : $\boxed{B_h = 2,4 \cdot 10^{-5} \text{ T} = 24 \text{ } \mu\text{T}}$

5. Le Nord géographique correspond à un Sud magnétique (et inversement). Donc le moment magnétique terrestre $\vec{\mathcal{M}}_T$ pointe du Nord géographique vers le Sud géographique.



6. Le vecteur unitaire \vec{u}_θ est tangent au sol et pointe localement du sud vers le nord géographique (il suit un méridien en pointant vers les latitudes croissantes). La composante horizontale (parallèle au sol) du champ magnétique correspond à la composante sur \vec{u}_θ en $r = R_T$ (à la surface de la Terre) dans le système de coordonnées polaires donné par l'énoncé.

La latitude géographique λ est repérée par rapport à l'équateur : $\theta = \lambda + \frac{\pi}{2}$

$$B_h = B_\theta = \frac{\mu_0}{4\pi} \frac{\mathcal{M}_T \sin(\theta_{\text{exp}})}{R_T^3} \text{ soit } \boxed{\mathcal{M}_T = \frac{4\pi R_T^3}{\mu_0 \sin(\theta_{\text{exp}})} B_h = 9,0 \cdot 10^{22} \text{ A.m}^2}$$

$$\text{avec } \theta_{\text{exp}} = \lambda + \frac{\pi}{2} = \frac{3\pi}{4} \text{ rad}$$

7. La composante horizontale du champ magnétique est la plus grande quand $\sin(\theta_{\text{exp}}) = 1$, i.e. en $\boxed{\theta = 90^\circ = \frac{\pi}{2} \text{ rad}}$, soit à l'équateur.

Valeur maximale de B_h : $\boxed{B_{h,\text{max}} = \frac{\mu_0}{4\pi} \frac{\mathcal{M}_T}{R_T^3} = 3,4 \cdot 10^{-5} \text{ T} = 34 \text{ } \mu\text{T}}$

8. Pôles Nord et Sud géographiques : $\theta = 0$ ou π rad : $\vec{B}_{\text{pôle}} = B_r \vec{u}_r$ avec

$$B_r = \frac{\mu_0}{4\pi} \frac{2\mathcal{M}_T \cos(\theta)}{R_T^3} : \text{ le champ magnétique est } \underline{\text{uniquement vertical}}, \text{ orienté}$$

vers le Sud géographique, d'intensité : $\boxed{|B_r| = \frac{\mu_0}{4\pi} \frac{2\mathcal{M}_T}{R_T^3} = 68 \text{ } \mu\text{T}}$